

西日本工業大学 正 赤司 信義

山日大学工学部 正 斎藤 隆

鉛直もぐり噴流による洗掘Kに関する工学的な問題は洗掘が進行した後の最終洗掘深さほどの程度になるのかということと、下流水深が洗掘の進行Kどの程度影響を及ぼすのかという二点にある。最終洗掘深さKについてはこれまでの著者らの解析法Kよって十分に予測されることを示してきた。一方、下流水深が洗掘の進行K重要な影響を及ぼすことは段差水Kによる洗掘Kに関する研究でも明らかKされているが、水脈突入時の空気泡の混入などによって流れが非常に複雑となるため、その水理的載荷はほとんど明確Kされてはいない。著者らの浅い水深での洗掘過程の観察結果によれば(図1参照)深い水深での洗掘特性との明確な区別はない。洗掘穴からの浮流砂を伴ふり上げ流れが浅い水面の存在Kよって砂堆頂上方K拡散することなく、急激K水平流K転ずることおよびその流れKよって砂堆頂上K沈降堆積した砂粒子は下流K掃流されて砂堆部形状が深い水深での三角形状より台形状K変形することKよって見出される。従って深い水深での洗掘の進行が砂堆頂を越えて沈降堆積した量Kよって規定されるKに対し、浅い水深での洗掘の進行は砂堆部台形状前縁を通過した量Kよって規定される。

本文は浅い水深での実験結果より得られた水深の影響条件及び深い水深での洗掘解析法Kを利用して、下流水深の影響を受けたときの洗掘過程を数値的K解析したものである。ここでは、これまでの解析モデルと異なる後期洗掘での解析モデルを示し、計算結果も実験結果と比較する。

水深の影響が洗掘形状K認められるようになるのは砂堆頂水深が次式で  $R_{pc}/E_0 = \sqrt{0.05 \cdot h_0^2 / Sgd}$ 、示されることであり、 $A_p$ が前式より大きいとき洗掘特性長(  $D, L_0, L_p$  )の関係は深い水深の場合とほとんど同一であったので、 $A_p$ が  $A_{pc}$ K達するまでは、これまでと同じように、図3中のS軸K沿ってふり上げられるとした。 $A_p = A_{pc}$ Kなると、 $D_p$ はほとんど一定であったことより、図3中のB-B断面を始端として水平K洗掘穴からの浮流砂が拡散されるものとした。このとき、水深  $h_p$  を一定とし、流れの速度K一様として、これを  $U$  とおき、次の拡散方程式:  $U \cdot \partial c / \partial x - U \cdot \partial c / \partial y = E \cdot \partial^2 c / \partial y^2$ 、より求められる濃度分布を積分してS軸上の浮流砂通過量を求める。さうKこれK河床変動の基礎式K代入することKよって水平流始端下流部の河床変動量が求められる。なお、Eの値は固定床衝撃噴流での値K使用する。図5K、このようにして求められる  $t + \Delta t$  時刻の過渡的台形状K示してある。観察結果としてはじめK述べたように砂堆部前縁を通過した砂量はすべて掃流され、砂堆頂高はほとんど一定であるから、図5K示す斜線部分を堆積量(  $cd \cdot g$  )部分K置換する。又、この量は洗掘量K等しいのであるから、洗掘穴内の力のつり合い条件をもちKして、 $t + \Delta t$  時刻の平均洗掘形状K求められる。図2KこのモデルK示している。少し違ると、 $t +$

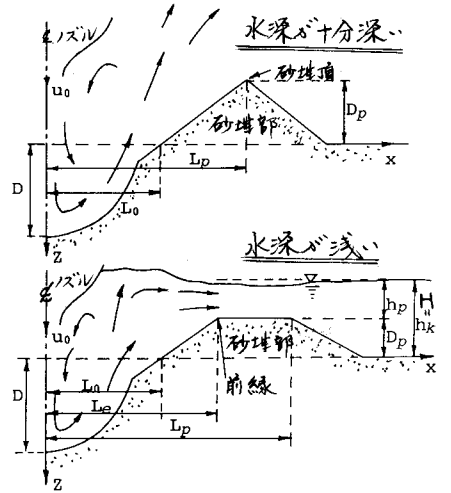


図1 洗掘形状の概略

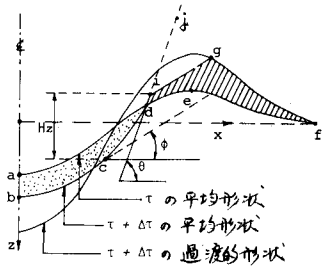


図2 尚欠の崩落モデル

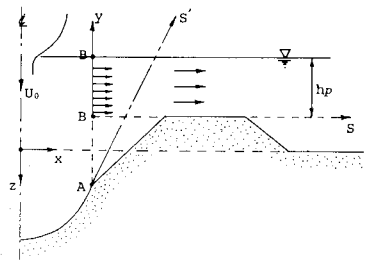


図3 浮流砂拡散モデル

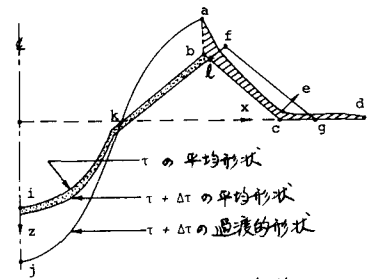


図4 深き水深での洗掘計算図

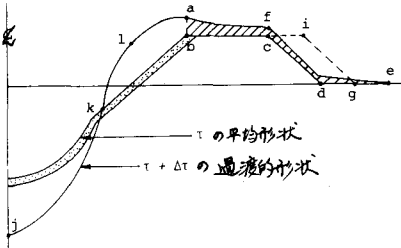


図5 浅き水深での洗掘計算説明図

Δでの平均形状は、洗掘穴形状を、 $Z/B_0 = 0.42 \cdot (L/B_0)^{0.78} \cdot (X/B_0)^2$  ( $Z$ は最大洗掘深位置を原点として鉛直上向きにとり、 $L$ は噴出口より初期砂面までの距離を示す) で決定する。図2中の  $bcd$  の境界線。この曲面に対して流れの変向による流体力と土圧力とのつり合いを定めて、 $abcd$  部分と  $defgi$  部分が等しくなるまで、 $Z$ の原点位置を変化させて逐次計算する。水深の影響を受ける前の形状に対しては図4に示す。このときの計算法は水深の深い場合と同じで、砂堆頂通過量(斜線部)が洗掘量であり、前述の力のつり合い条件をもとに砂堆頂上流側の  $\tau + \Delta \tau$  での平均形状を求める。又斜線部分の堆積量は、砂堆頂を通過した砂量が砂堆頂下流斜面に砂の水中安息角斜面を形成することとを考慮して  $bcgf$  部分に置換する。洗掘形状に関する計算結果及び実験結果をそれぞれ図6-a, bに示している。図6-a中の○印は図6-b中の実験時間16時間のデータを表したものである。最大洗掘深に関する計算結果は図7中に太線で示している。太い実線は水深の影響を受けたときの結果を示している。両図ともかなりよく実験値を説明して、水深の影響を適切に評価されたものと考へる。参考文献; 1) 58年, 年講 II-278, 2) 水理講究会論文集, 59年 (30)

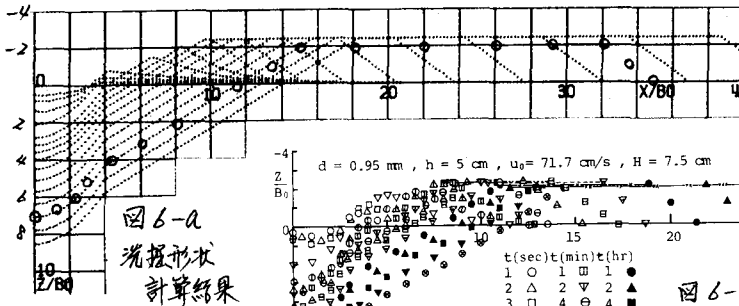


図6-a 洗掘形状計算結果

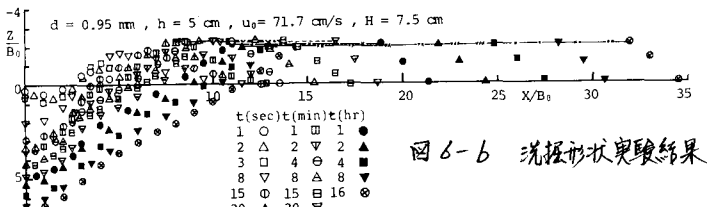


図6-b 洗掘形状実験結果

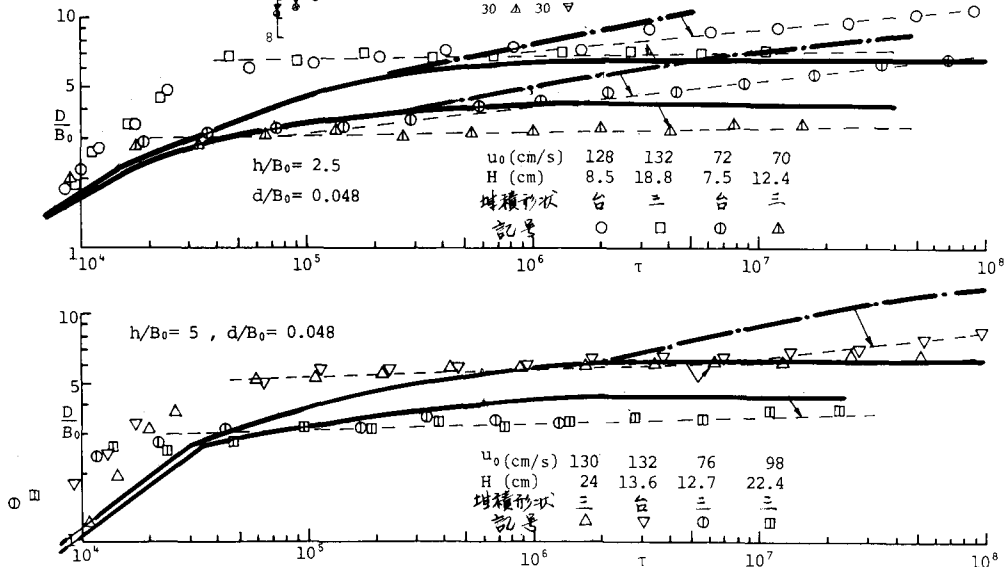


図7 最大洗掘深の時間的变化; 計算結果と実験結果の比較